

# Mésons vetoriais pesados em QCD holográfica

Saulo Diles

Universidade Federal do Pará - Campus Salinópolis

14 de outubro de 2021  
VII CICLO DE SEMINÁRIOS DE FÍSICA - UESB -  
ITAPETINGA - BA



Faculdade de Física  
UFPA - Campus Salinópolis

# Sumário

- 1** Introdução
- 2** QCD Holográfica e o espectro de mésons
- 3** O caminho para descrever mésons pesados
- 4** O modelo de Contreras, Diles e Vega
- 5** Comentários Finais

# Sumário

1 Introdução

2 QCD Holográfica e o espectro de mésons

3 O caminho para descrever mésons pesados

4 O modelo de Contreras, Diles e Vega

5 Comentários Finais

# Breve história do Quarkonium

- Na década de 60 temos o modelo de quarks: a princípio haveria os quarks up ( $u$ ) e down ( $d$ ), além do quark strange ( $s$ ).
- O modelo de quarks exige parceiro para o quark  $s$ , foi então especulado um novo quark: o charm ( $c$ ).
- Em 1971 o méson associado ao quark charm é descoberto, sendo chamado de charmonium ou  $J/\Psi$ , que é mais de três vezes mais pesado que o  $\phi$ .
- Em 1974 é descoberto o méson associado  $\Upsilon$ , quase três vezes mais pesado que o  $J/\Psi$ , associado a um novo e ainda mais pesado quark: o bottom ou beauty ( $b$ ).
- O parceiro do quark bottom é o quark top ( $t$ ), muito mais pesado. Não forma mesons estáveis.

# Espectroscopia do Charmonium

Charmonium ( $J/\Psi, \Psi', \dots$ )

Estado	Massa(MeV)	$\Gamma_{V \rightarrow e^+e^-} (KeV)$	Cte de Dec. (MeV)
$1S$	$3096.91 \pm 0.01$	$5.547 \pm 0.046$	$416 \pm 2$
$2S$	$3686.11 \pm 0.01$	$2.359 \pm 0.114$	$296 \pm 7$
$3S$	$4040 \pm 1$	$0.86 \pm 0.23$	$187 \pm 22$
$4S$	$4421 \pm 4$	$0.58 \pm 0.07$	$160 \pm 9$

# Espectroscopia do Bottomonium

Bottomonium ( $\Upsilon, \Upsilon', ..$ )

Estado	Massa(MeV)	$\Gamma_{V \rightarrow e^+ e^-} (KeV)$	Cte de Dec. (MeV)
$1S$	$9460.3 \pm 0.26$	$1.2856 \pm 0.09$	$715 \pm 2$
$2S$	$10023.26 \pm 0.32$	$0.62 \pm 0.02$	$497 \pm 2$
$3S$	$10355.2 \pm 0.5$	$0.443 \pm 0.008$	$430 \pm 2$
$4S$	$10579.4 \pm 1.2$	$0.25 \pm 0.03$	$370 \pm 9$

# Por que holografia?

- 1 Em baixas energia a QCD é fortemente acoplada.
- 2 QCD na rede é uma boa alternativa, mas existem problemas em temperatura finita.
- 3 A dualidade AdS/CFT (1997) permite cálculos analíticos em sistemas fortemente acoplados.
- 4 O cálculo de  $\eta/s$  (2001) indica que a dualidade pode sim ser aplicada à “problemas do mundo real”.

# Sumário

- 1 Introdução
- 2 QCD Holográfica e o espectro de mésons
- 3 O caminho para descrever mésons pesados
- 4 O modelo de Contreras, Diles e Vega
- 5 Comentários Finais

## Modelos AdS/QCD consolidados

- **Hard Wall:** Polcinsk/Strassler, Braga/Boschi-Filho → corte IR na direção Holográfica  $z \in (0, z_{HW})$ , onde usamos as coordenadas de Poincaré do AdS:

$$ds^2 = \frac{R^2}{z^2} (\eta_{\mu\nu} dx^\mu dx^\nu + dz^2).$$

- Hardwall descreve: espalhamento profundamente inelástico, glueball, estado fundamental de mésons leves.
- **Softwall:** 2006-Karch, Katz, Son, Stephanov → acopla os campos do AdS com dilaton  $\phi(z) = k^2 z^2$ .
- Softwall descreve bem: espectro de massas das excitações radiais de mésons leves.
- O que os modelos não descrevem: mésons pesados. Limitado para massas, falha com **constantes de decaimento**.

## Detalhes matemáticos

O operador de interesse é o produto de correntes  $\langle J^\mu(x)J^\nu(0)\rangle$ , onde  $J^\mu = \bar{q}\gamma^\mu q$  é dual ao campo vetorial em 5 dimensões:

$$A_m = (A_\mu, A_z) \leftrightarrow J_c^\mu(x) = \bar{c}\gamma^\mu c$$

Ação do campo dual no  $AdS_5$ :

$$\mathcal{S}[A] = -\frac{1}{2g_5^2} \int d^4x dz F_{\mu\nu} F^{\mu\nu}. \quad (1)$$

Função de partição da teoria da fronteira:

$$Z_{CFT}[A^0] = e^{-\mathcal{S}_{onshell}[A^0]}, \quad A^0(x^\mu) = \lim_{z \rightarrow 0} A(x^\mu, z). \quad (2)$$

O produto de correntes é obtido por

$$\langle J^\mu(x)J^\nu(y)\rangle = \frac{\delta}{\delta A_\mu^0(x)} \frac{\delta}{\delta A_\nu^0(y)} Z_{CFT}[A^0] \quad (3)$$

## Espectro de méson no modelo Soft-Wall

Tomamos a função de correlação no espaço de momentos:

$$\int d^4x e^{iq \cdot x} \langle J_\mu(x) J_\nu(0) \rangle = \left( \eta_{\mu\nu} - \frac{q_\mu q_\nu}{q^2} \right) \Pi(-q^2). \quad (4)$$

No modelo de parede macia obtém-se

$$\Pi(-q^2) = \sum_{n=1}^{\infty} \frac{2k^2/g_5^2}{-q^2 - 4k^2 n^2} = \sum_n \frac{f_n^2}{(-q^2) - m_n^2}. \quad (5)$$

Dai segue que:

$$m_n^2 = 4k^2 n, \quad f_n = \frac{k}{\pi\sqrt{2}}. \quad (6)$$

O modelo soft-wall prevê spectro de **massas Regge linear e constantes de decaimento degeneradas**.

# Sumário

- 1** Introdução
- 2** QCD Holográfica e o espectro de mésons
- 3** O caminho para descrever mésons pesados
- 4** O modelo de Contreras, Diles e Vega
- 5** Comentários Finais

## Escalas de energia

- A principal limitação do modelo de parede macia se dá por termos uma única escala de energia  $k$ .
- Massas e constantes de decaimento requerem ao menos **duas escalas de energia**: massas no infra-vermelho ( $z \rightarrow \infty$ ), constantes de decaimento no ultra-violeta ( $z \rightarrow 0$ ).
- O primeiro trabalho a discutir estas escalas de energia em holografia se deve a Grigoryan, Hohler and Stephanov:  
[arXiv:1003.1138](https://arxiv.org/abs/1003.1138).
- Este trabalho motivou uma sequência de investigações sobre o uso da holografia para o estudo da espectroscopia de mésons pesados.

## Parede macia com corte UV

- Uma proposta interessante é introduzir um corte ultravioleta no modelo de parede macia. A ação do modelo fica

$$\mathcal{S}[A] = -\frac{1}{2g_5^2} \int d^4x \int_{z_0}^{\infty} dz e^{-k^2 z^2} F_{\mu\nu} F^{\mu\nu}. \quad (7)$$

- Este tipo de proposta foi considerada pela primeira vez por Evans e Tedder em 2006: [arXiv:hep-ph/0609112](https://arxiv.org/abs/hep-ph/0609112).
- Em 2014, este modelo foi proposto por Braga, Contreras e Diles como um modelo para mésons pesados:  
[arXiv:1507.04708](https://arxiv.org/abs/1507.04708)
- O trabalho de 2006 não era de nosso conhecimento.  
Posteriormente, verificamos que os resultados de Evans e Tedder tinham um problema e com o dicionário holográfico. .

## Parede macia com corte UV

$$\Pi(-q^2) = \frac{e^{-k^2 z_0^2}}{2g_5^2} \frac{U\left(1 + \frac{q^2}{4k^2}, 0, k^2 z_0^2\right)}{U\left(\frac{q^2}{4k^2}, 0, k^2 z_0^2\right)}. \quad (8)$$

- Os polos de  $\Pi(-q^2)$  em  $-q^2 = \chi_n$  determina o espectro de massa enquanto que as constantes de decaimento são obtidas pelos resíduos

$$m_n^2 = 4k^2 \chi_n, \quad f_n^2 = \lim_{-q^2 \rightarrow m_n^2} (-q^2 - m_n^2) \Pi(-q^2), \quad n = 1, 2, 3\dots$$

- A escolha de parâmetros que melhor descreve os dados observados é:

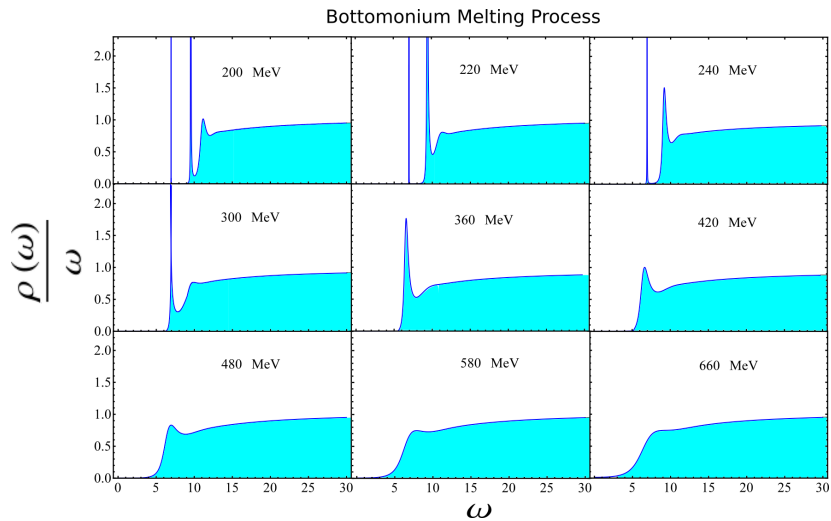
$$k_c = 1.2 \text{ GeV}; \quad k_b = 3.4 \text{ GeV}; \quad \frac{1}{z_0} = 12.5 \text{ GeV}. \quad (9)$$

## Resultados: espectro à temperatura zero

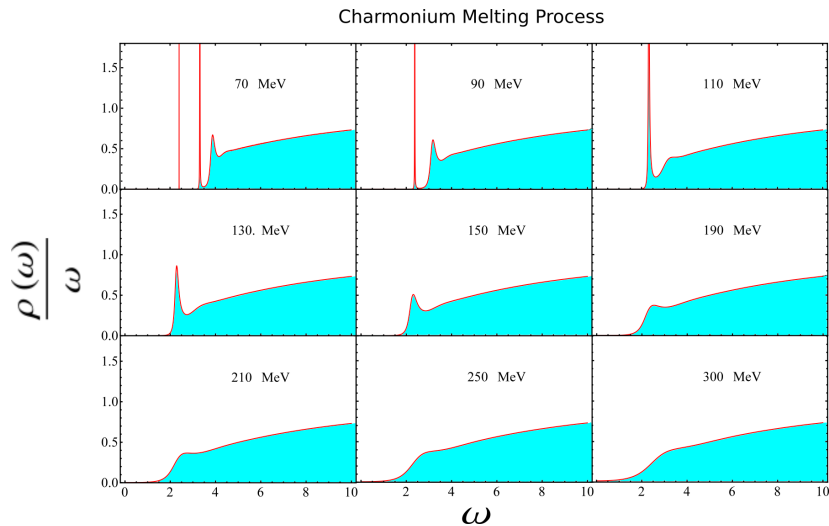
Bottomonium ( $\Upsilon, \Upsilon', \dots$ )		
Estado	Massa	Cte de decaimento
$1S$	7011	627
$2S$	9883	574
$3S$	12077	538
$4S$	13923	512

Charmonium ( $J/\Psi, \Psi', \dots$ )		
Estado	Massa	Cte de decaimento
$1S$	2410	258.8
$2S$	3409	251.7
$3S$	4174	245.9
$4S$	4819	241.0

# Resultados: Temperatura Finita



# Resultados: Temperatura Finita



## Dilaton Modificado

- Charmonium: sobrevive à altas temperaturas, o modelo apresentado prevê charmonium dissociado em “baixas temperaturas”.

# Dilaton Modificado

- Charmonium: sobrevive à altas temperaturas, o modelo apresentado prevê charmonium dissociado em “baixas temperaturas”.
- Guia para o modelo à temperatura finita:  $T_{melting} \sim f_{1S}$ .

# Dilaton Modificado

- Charmonium: sobrevive à altas temperaturas, o modelo apresentado prevê charmonium dissociado em “baixas temperaturas”.
- Guia para o modelo à temperatura finita:  $T_{melting} \sim f_{1S}$ .
- Proposta de N. Braga, L. Ferreira e A. Vega: modelo de softwall modificado pela adição de um termo extra no dilaton ([arXiv:1709.05326](#) e [arXiv:1802.02084](#)).

## Dilaton Modificado

- Charmonium: sobrevive à altas temperaturas, o modelo apresentado prevê charmonium dissociado em “baixas temperaturas”.
- Guia para o modelo à temperatura finita:  $T_{melting} \sim f_{1S}$ .
- Proposta de N. Braga, L. Ferreira e A. Vega: modelo de softwall modificado pela adição de um termo extra no dilaton ([arXiv:1709.05326](#) e [arXiv:1802.02084](#)).
- Dilaton proposto:

$$\Phi(z) = k^2 z^2 + Mz + \tanh\left(\frac{1}{Mz} - \frac{k}{\sqrt{\Gamma}}\right), \quad z \in (0, \infty). \quad (10)$$

# Espectro do modelo de Braga, Ferreira e Vega

Fixando os parâmetros do modelo como

$$k = 1.2 \text{ GeV}, \quad M = 2.7 \text{ GeV}, \quad \sqrt{\Gamma} = 0.75 \text{ GeV}, \quad (11)$$

obtém-se o espectro:

Charmonium ( $J/\Psi, \Psi', \dots$ )		
Estado	Massa	Cte de decaimento
$1S$	2943	399
$2S$	3959	255
$3S$	4757	198
$4S$	5426	169

**Temperatura Finita:** Pico do Charmonium sobrevive à temperaturas da ordem de  $360 \sim 420 \text{ MeV}$ .

# Sumário

- 1 Introdução
- 2 QCD Holográfica e o espectro de mésons
- 3 O caminho para descrever mésons pesados
- 4 O modelo de Contreras, Diles e Vega
- 5 Comentários Finais

## Massas e a escala não-linear

- O espectro de massas dos mésons leves são bem aproximados por trajetórias tipo Regge linear.
- O espectro de massas dos mésons pesados NÃO é do tipo Regge linear.
- Espectro de massas está associado com o comportamento do dílaton no IR.
- A solução deste problema foi discutida por Contreras e Vega em 2020 ([arXiv:2004.10286](#)).
- Essencialmente, o espectro de massas de mesons constituidos de quarks pesados é bem descrito pelo dilaton  $\Phi(z) = (kz)^{2-\alpha}$ , com  $0 \leq \alpha < 1$ .

## Montando o quebra-cabeças

- O dilaton que descreve as massas dos mésons pesados é uma modificação do dilaton quadrático:  $(kz)^2 \rightarrow (kz)^{2-\alpha}$ .
- Por outro lado, o termo  $Mz + \tanh\left(\frac{1}{Mz} - \frac{\kappa}{\sqrt{\Gamma}}\right)$  nos permite uma descrição das constantes de decaimento.
- A primeira modificação é dominante no IR, enquanto a segunda é dominante no UV.
- Juntando as duas propostas de modificação, obtemos um modelo completo para o espectro dos mésons pesados com o dilaton:

$$\Phi(z) = (\kappa z)^{2-\alpha} + Mz + \tanh\left[\frac{1}{Mz} - \frac{\kappa}{\sqrt{\Gamma}}\right]. \quad (12)$$

- Este modelo foi proposto por Contreras, Diles e Vega em [arXiv:2101.06212](https://arxiv.org/abs/2101.06212).

# Espectro do Charmonium

Charmonium States $I^G(J^{PC}) = 0^+(1^{--})$							
Parameters:		$\kappa = 1.8 \text{ GeV}$ , $M = 1.7 \text{ GeV}$ , $\sqrt{\Gamma} = 0.53 \text{ GeV}$ and $\alpha = 0.54$					
$n$	State	$M_{\text{Exp}}$ (MeV)	$M_{\text{Th}}$ (MeV)	%M	$f_{\text{Exp}}$ (MeV)	$f_{\text{Th}}$ (MeV)	%f
1	$J/\psi$	$3096.916 \pm 0.011$	3140.1	1.42	$416.16 \pm 5.25$	412.4	1.4
2	$\psi(2S)$	$3686.109 \pm 0.012$	3656.9	0.9	$296.08 \pm 2.51$	272.7	8.0
3	$\psi(4040)$	$4039 \pm 1$	4055.7	0.4	$187.13 \pm 7.61$	201.8	7.8
4	$\psi(4415)$	$4421 \pm 4$	4376	0.9	$160.78 \pm 9.70$	164.1	2.0
Nonlinear Regge Trajectory:				$M_n^2 = 8.097(0.39 + n)^{0.58} \text{ GeV}^2$ with $R^2 = 0.999$			

Figure: Espectro das excitações radiais do Charmonium

# Espectro do Bottomonium

Bottomonium States $I^G(J^{PC}) = 0^+(1^{--})$							
Parameters:			$\kappa = 9.9 \text{ GeV}, M = 2.74 \text{ GeV}, \sqrt{\Gamma} = 1.92 \text{ GeV}$ and $\alpha = 0.863$				
$n$	State	$M_{\text{Exp}}$ (MeV)	$M_{\text{Th}}$ (MeV)	% $M$	$f_{\text{Exp}}$ (MeV)	$f_{\text{Th}}$ (MeV)	% $f$
1	$\Upsilon(1S)$	$9460.3 \pm 0.26$	9506.5	0.5	$714.99 \pm 2.40$	718.8	0.5
2	$\Upsilon(2S)$	$10023.26 \pm 0.32$	9892.9	1.0	$497.37 \pm 2.23$	575.7	16
3	$\Upsilon(3S)$	$10355.2 \pm 0.5$	10227.2	1.2	$430.11 \pm 1.94$	413.0	4.0
4	$\Upsilon(4S)$	$10579.4 \pm 1.2$	10497.5	0.8	$340.65 \pm 9.08$	324.3	4.8
5	$\Upsilon(10860)$	$10889.9^{+3.2}_{-2.6}$	10721.5	1.5	—	—	—
6	$\Upsilon(11020)$	$10992.9^{+10.0}_{-3.1}$	10912.7	0.7	—	—	—

Nonlinear Regge Trajectory:	$M_n^2 = 7.376(1.31 + n)^{0.24} \text{ GeV}^2$ with $R^2 = 0.999$
-----------------------------	---

Figure: Espectro das excitações radiais do Bottomonium

# Função Espectral do Charmonium

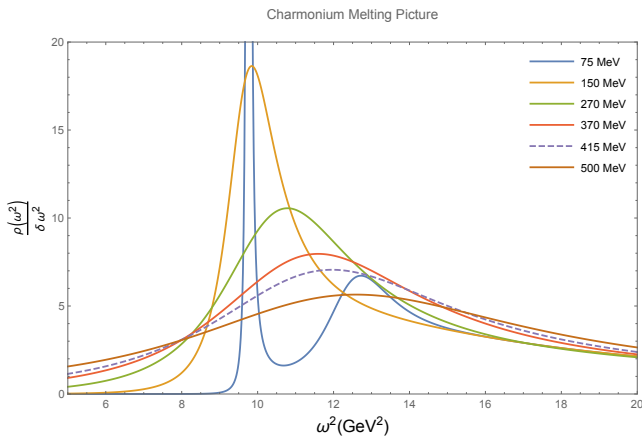


Figure: Função espectral do Charmonium em diferentes temperaturas, a curva tracejada corresponde a temperatura de derretimento.

# Função Espectral do Bottomonium

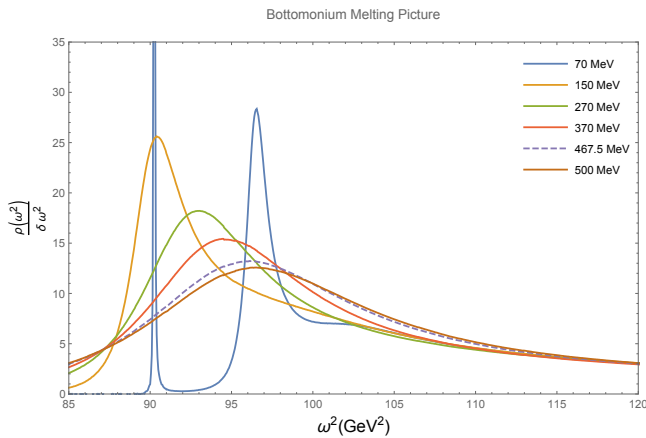
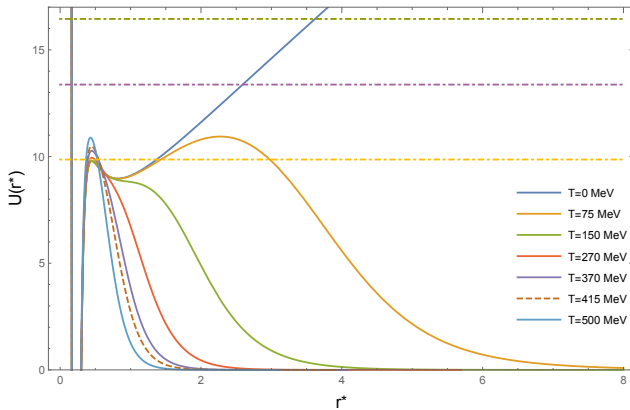


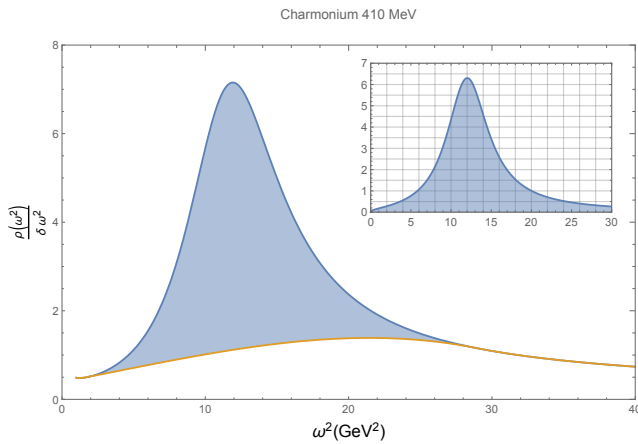
Figure: Função espectral do Bottomonium em diferentes temperaturas, a curva tracejada corresponde a temperatura de derretimento.

# Potêncial holográfico do Charmonium



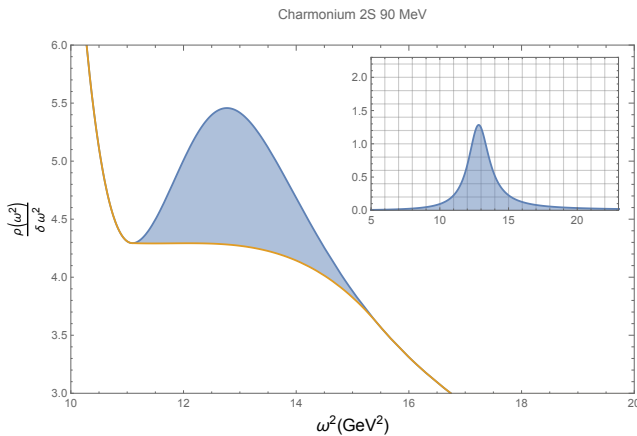
**Figure:** Potêncial holográfico (Liouville) do Charmonium. As retas horizontais tracejadas correspondem às massas quadráticas dos três primeiros estados excitados ( $J/\Psi, \Psi', \Psi''$ )

# Subtração de Fundo: $J/\Psi$



**Figure:** Subtração de fundo da função espectral do estado fundamental (1S) do Charmonium.

# Subtração de Fundo: $\Psi'$



**Figure:** Subtração de fundo da função espectral do primeiro estado excitado (2S) do Charmonium.

# Massa térmica do $J/\Psi$

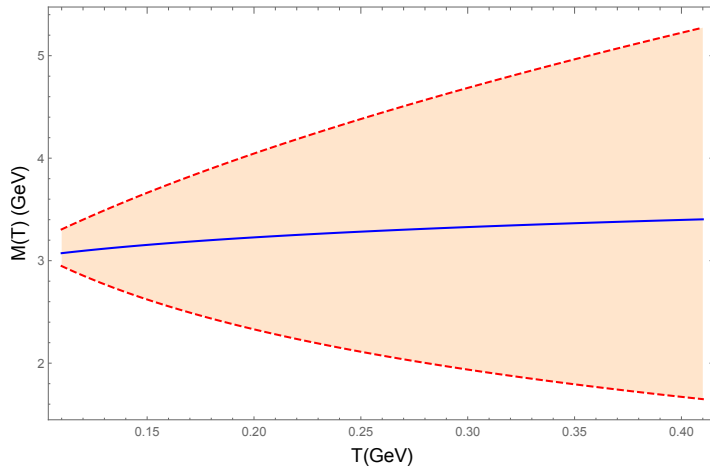
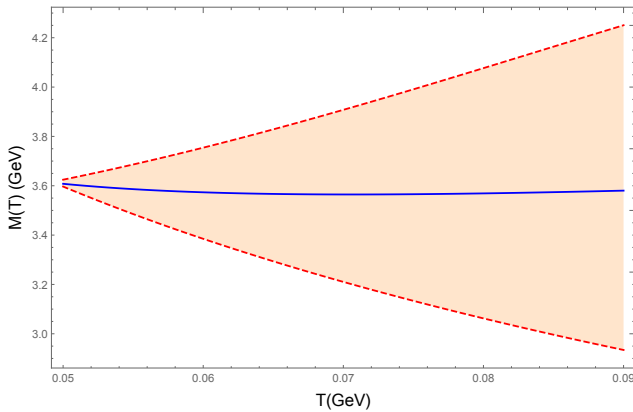


Figure: Massa e amplitude de decaimento como função da temperatura

# Massa térmica do $\Psi'$



**Figure:** Massa e amplitude de decaimento como função da temperatura para do primeiro estado excitado (2S) do Charmonium.

# Sumário

- 1** Introdução
- 2** QCD Holográfica e o espectro de mésons
- 3** O caminho para descrever mésons pesados
- 4** O modelo de Contreras, Diles e Vega
- 5** Comentários Finais

# Conclusões

- Para o Charmonium verificamos que de fato

$$T_{melting} \sim f_{1S},$$

já para o Bottomonium esta temératura fica abaixo do valor numerico da constante de decaimento.

- Usando holografia podemos fazer uma análise minuciosa da espectroscopia de mésons pesados.
- A análise quantitativa da dissociação das partículas requer uma subtração apropriada dos efeitos de fundo na função espectral.
- O modelo a 4 parâmetros também pode ser aplicado em outros mésons como o  $\phi$  ou até mesmo os leves como o  $\rho$  ou o  $\omega$ . Porém, a falta de dados das cosntantes de deciamento desses mésons mascara as vantagens reais dos parâmetros

# Referências

-  H. R. Grigoryan, P. M. Hohler and M. A. Stephanov, Phys. Rev. D **82** (2010), 026005 [arXiv:1003.1138 [hep-ph]].
-  N. R. F. Braga, M. A. Martin Contreras and S. Diles, Phys. Lett. B **763** (2016), 203-207 [arXiv:1507.04708 [hep-th]].
-  N. R. F. Braga, M. A. Martin Contreras and S. Diles, Eur. Phys. J. C **76** (2016) no.11, 598 [arXiv:1604.08296 [hep-ph]].
-  N. R. F. Braga, L. F. Ferreira and A. Vega, Phys. Lett. B **774** (2017), 476-481 [arXiv:1709.05326 [hep-ph]].
-  M. A. Martin Contreras and A. Vega, Phys. Rev. D **102** (2020) no.4, 046007 [arXiv:2004.10286 [hep-ph]].
-  M. A. Martin Contreras, S. Diles and A. Vega, Phys. Rev. D **103** (2021) no.8, 086008 [arXiv:2101.06212 [hep-ph]].

Muito Obrigado

